

*Космологические ограничения
на массу нейтрино*

А.М. Малиновский (АКЦ ФИАН)

В.Н. Лукаш, Е.В. Михеева (АКЦ ФИАН),

А.А. Воеводкин, А.А. Вихлинин (ИКИ РАН)

Нейтрино в теории

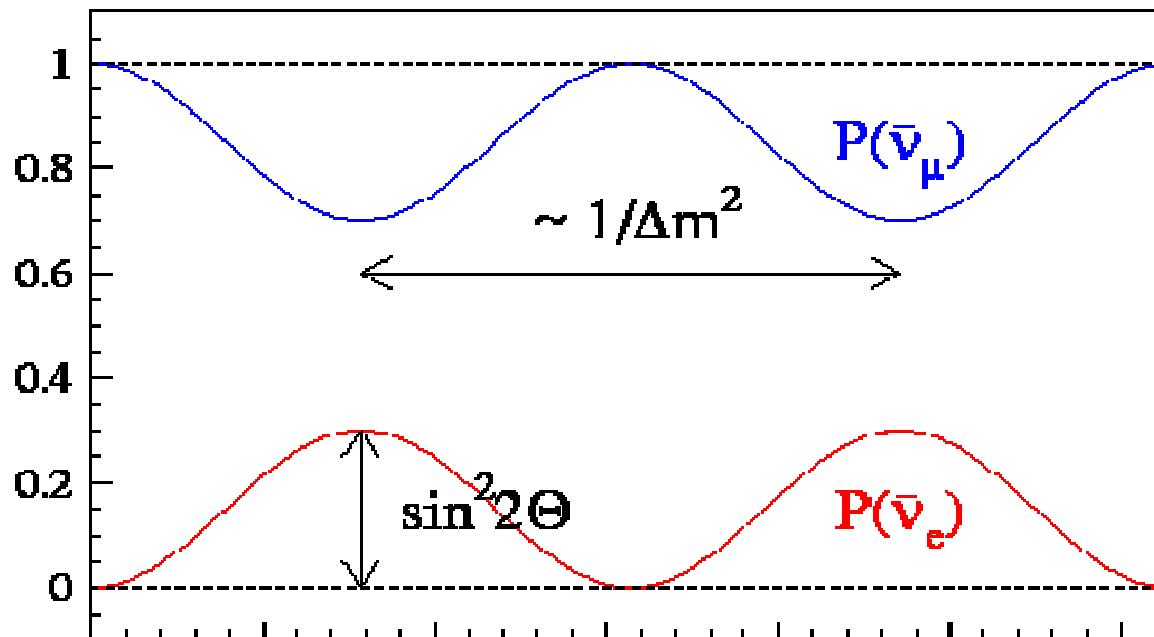
- Предсказание - Паули, 1930.
- Три сорта нейтрино, соответствующие трем поколениям лептонов .
- Электронное, мюонное и тау-нейтрино.
- В рамках Стандартной Модели элементарных частиц массы не имеют.
- В случае наличия массы - возможность перехода нейтрино одного сорта в нейтрино другого сорта (Понтекорво, 1957 г.).

Нейтринные осцилляции

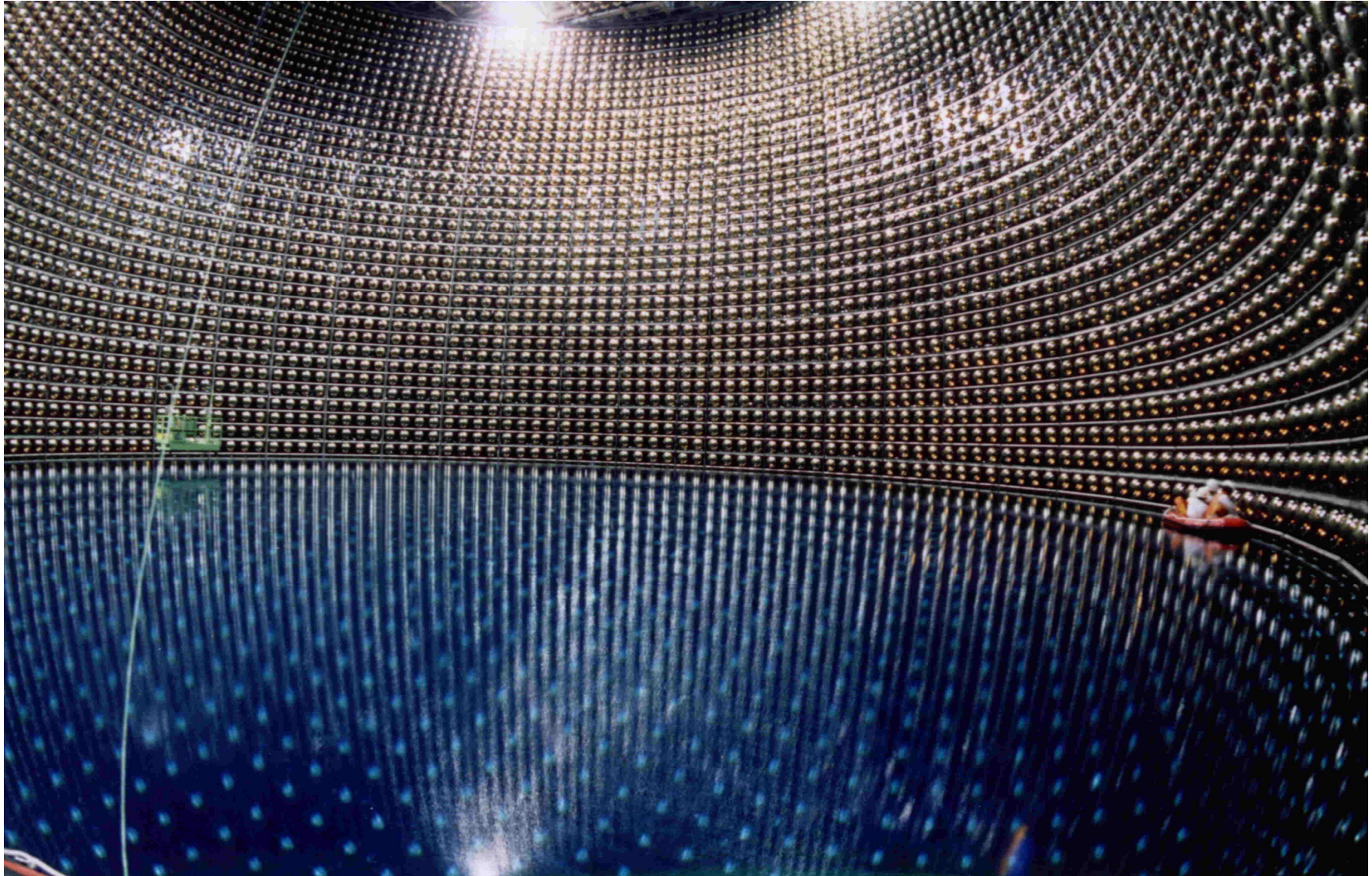
$$\begin{pmatrix} \nu_e \\ \nu_\mu \end{pmatrix} = \begin{pmatrix} \cos\theta & \sin\theta \\ -\sin\theta & \cos\theta \end{pmatrix} \begin{pmatrix} \nu_1 \\ \nu_2 \end{pmatrix} \quad P_{\nu_e\nu_\mu}(x) = \sin^2 2\theta \cdot \sin^2 \left(1.267 \frac{\Delta m^2}{E} \cdot x \right)$$

$$\Delta m^2 = |m_1^2 - m_2^2|$$

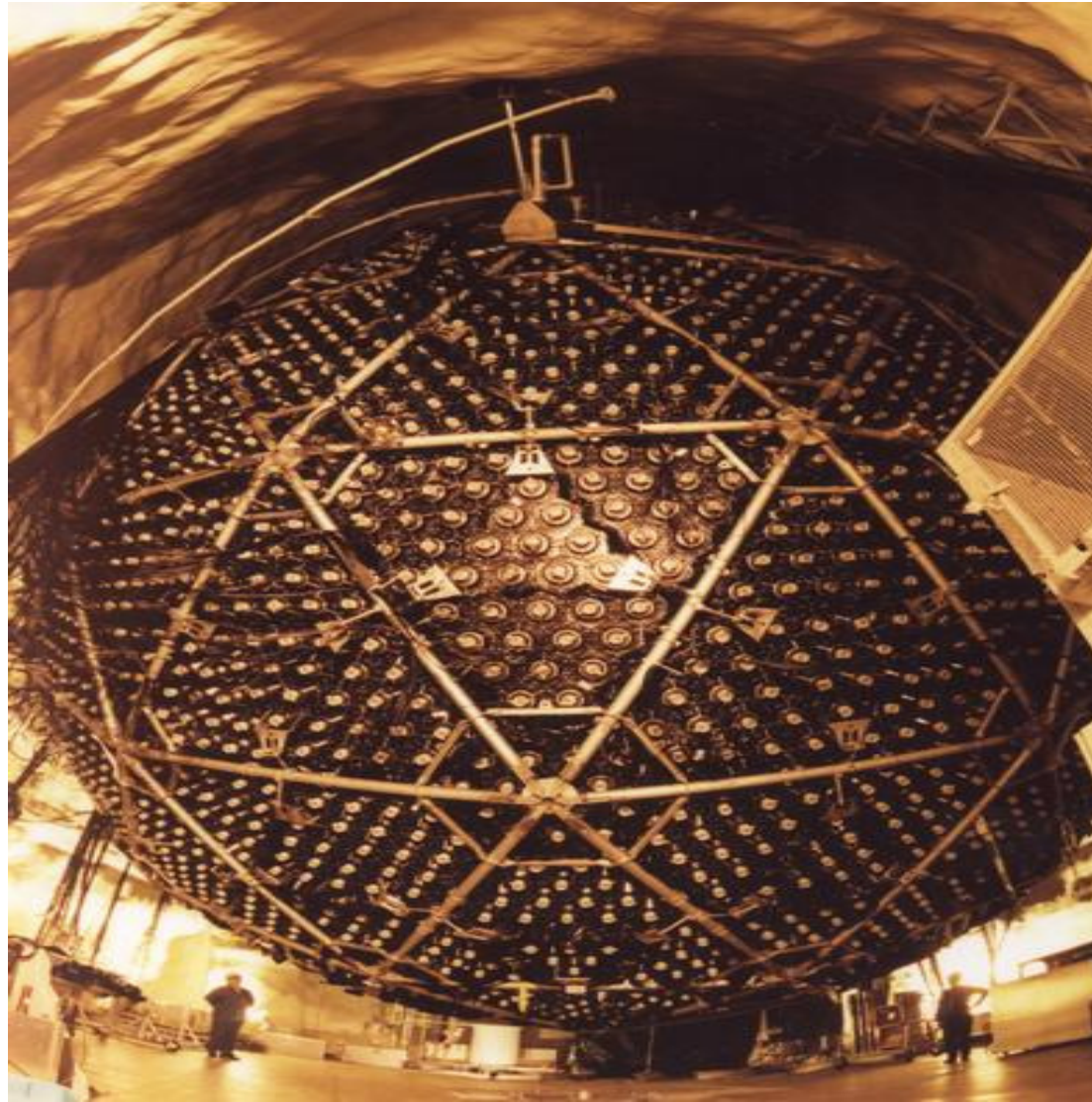
x - расстояние до источника, [м]
 E - энергия нейтрино, [МэВ]



Супер-Камиоканде (Япония)



SNO (Содбери, Канада)



Проблема шкалы масс

- $(m_1^2, m_2^2, m_3^2) = m_0^2 + (-\delta m^2/2, +\delta m^2/2, \pm \Delta m^2)$
- По последним данным:
$$\delta m^2 = 7.65 \cdot 10^{-5} \text{ эВ}^2$$
$$\Delta m^2 = 2.4 \cdot 10^{-3} \text{ эВ}^2$$
- Знаки "+" и "-" определяют нормальную $(m_3 > m_2 > m_1)$ и обратную $(m_2 > m_1 > m_3)$ иерархию, соответственно
- Главное - неизвестна величина абсолютной массы m_0

Космологические нейтрино

Температура разделения: $T_{dec} \approx 1 \text{ МэВ}$

Температура сегодня: $T_\nu = \left(\frac{4}{11}\right)^{1/3} T_\gamma \approx 1.945 \text{ К}$

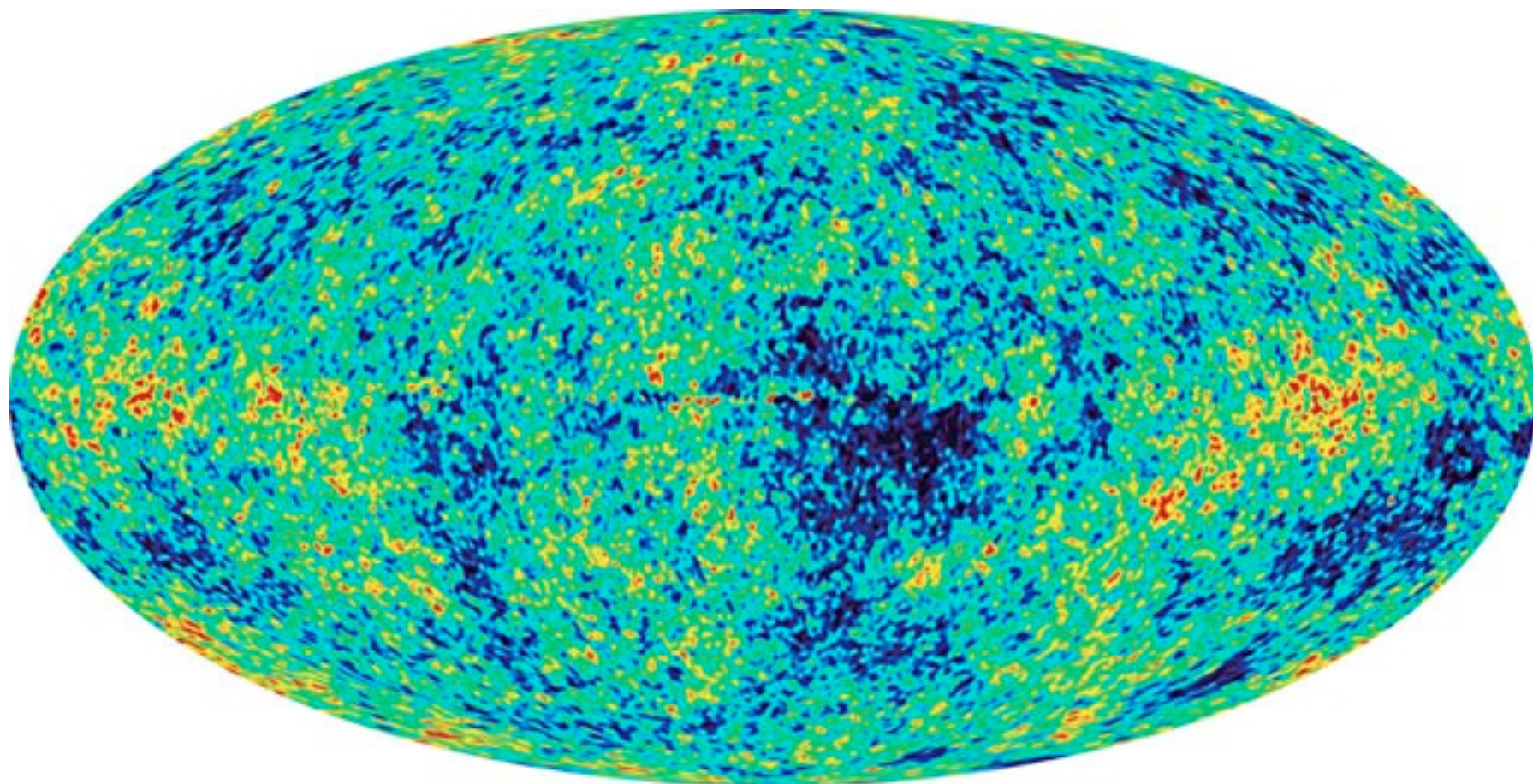
Плотность числа частиц :

$$n_\nu = \frac{3}{11} n_\gamma = \frac{6}{11} \frac{\zeta(3)}{\pi^2} T_\gamma^3 \approx 113 \text{ см}^{-3}$$

Вклад в общую плотность Вселенной:

$$\Omega_\nu = \frac{\rho_\nu}{\rho_c} = \frac{n_\nu m_\nu}{\rho_c} \rightarrow \Omega_\nu h^2 \cong \frac{\Sigma m_\nu}{94 \text{ эВ}}$$

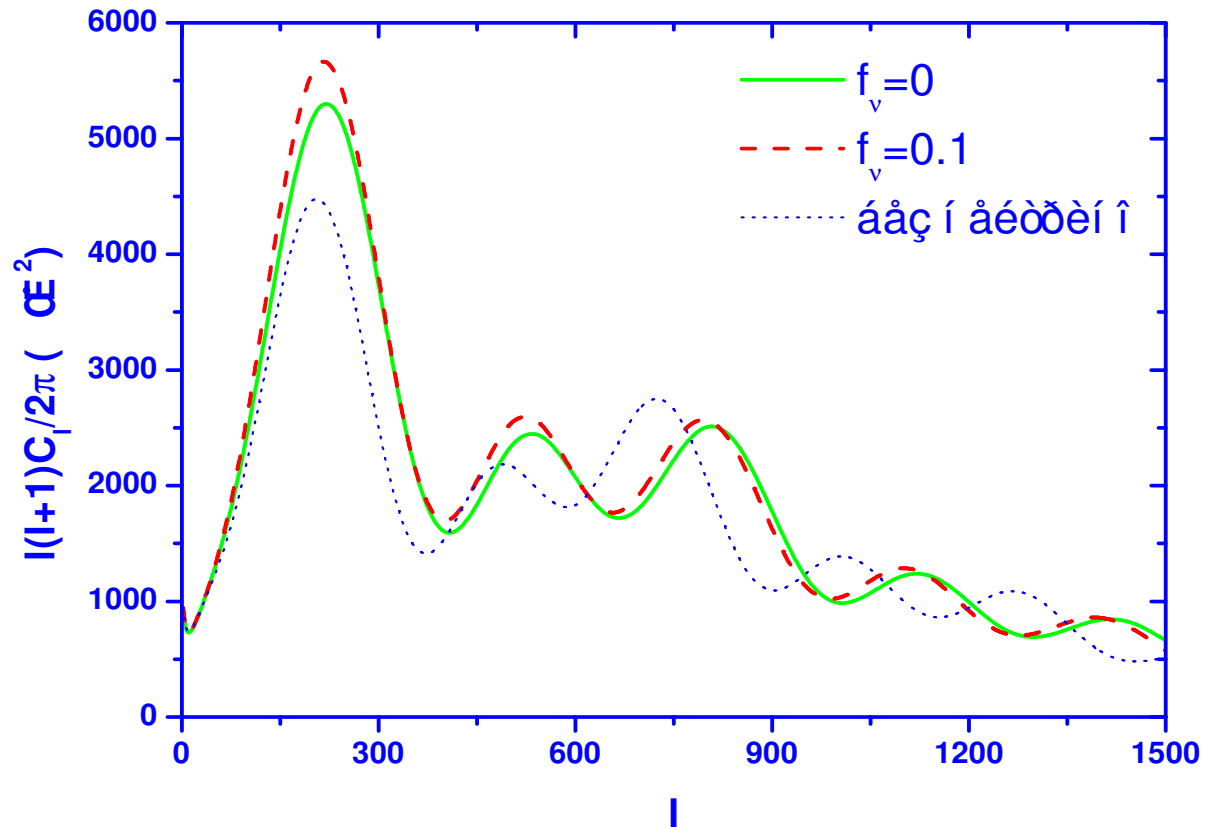
Реликтовое излучение



Влияние массивных нейтрино (реликтовое излучение)

- В случае нейтрино малой массы ($\sum m_\nu < 1.5$ эВ) – главным образом, на фоновую эволюцию
- Так, в случае фиксированной кривизны и постоянного вклада Λ -члена – запоздание момента перехода от радиационно-доминированной эры к стадии преобладания вещества
- Как следствие – рост высоты акустических пиков, особенно первого, и их сдвиг влево, в сторону меньших l

Влияние массивных нейтрино (реликтовое излучение)



Снятие вырождений

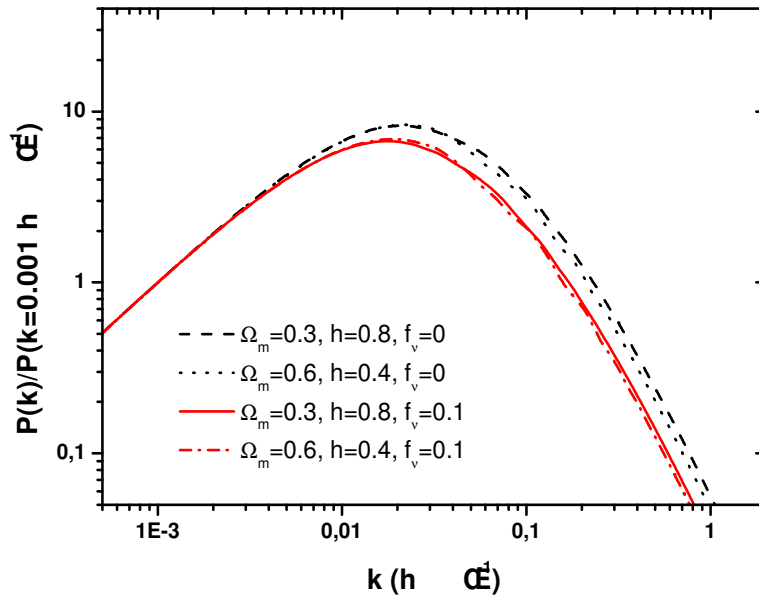


Рис 1. Спектр мощности возмущений плотности. Черные линии - модели без массивных нейтрино ($\Omega_m = 0.3$, $h = 0.8$ и $\Omega_m = 0.6$, $h = 0.4$), красные - аналогичные с массивными, $f_\nu = 0.1$.

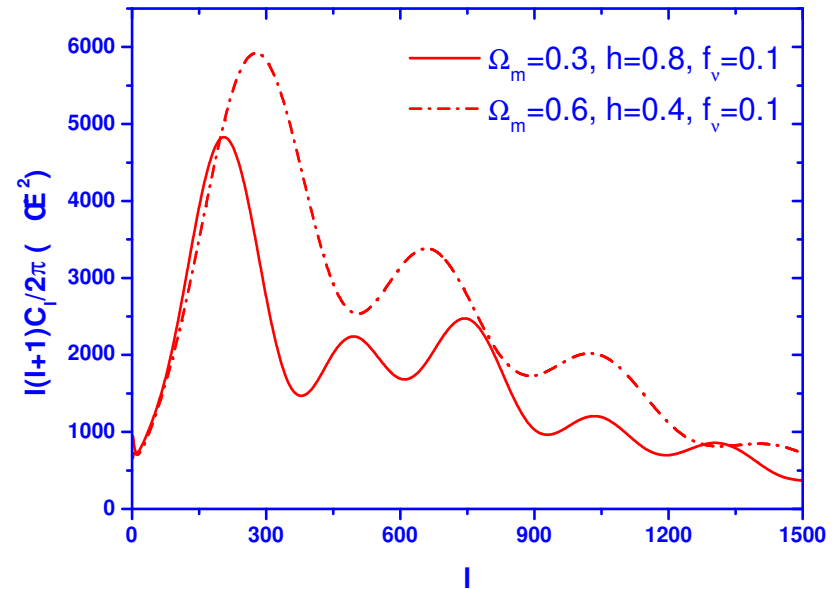
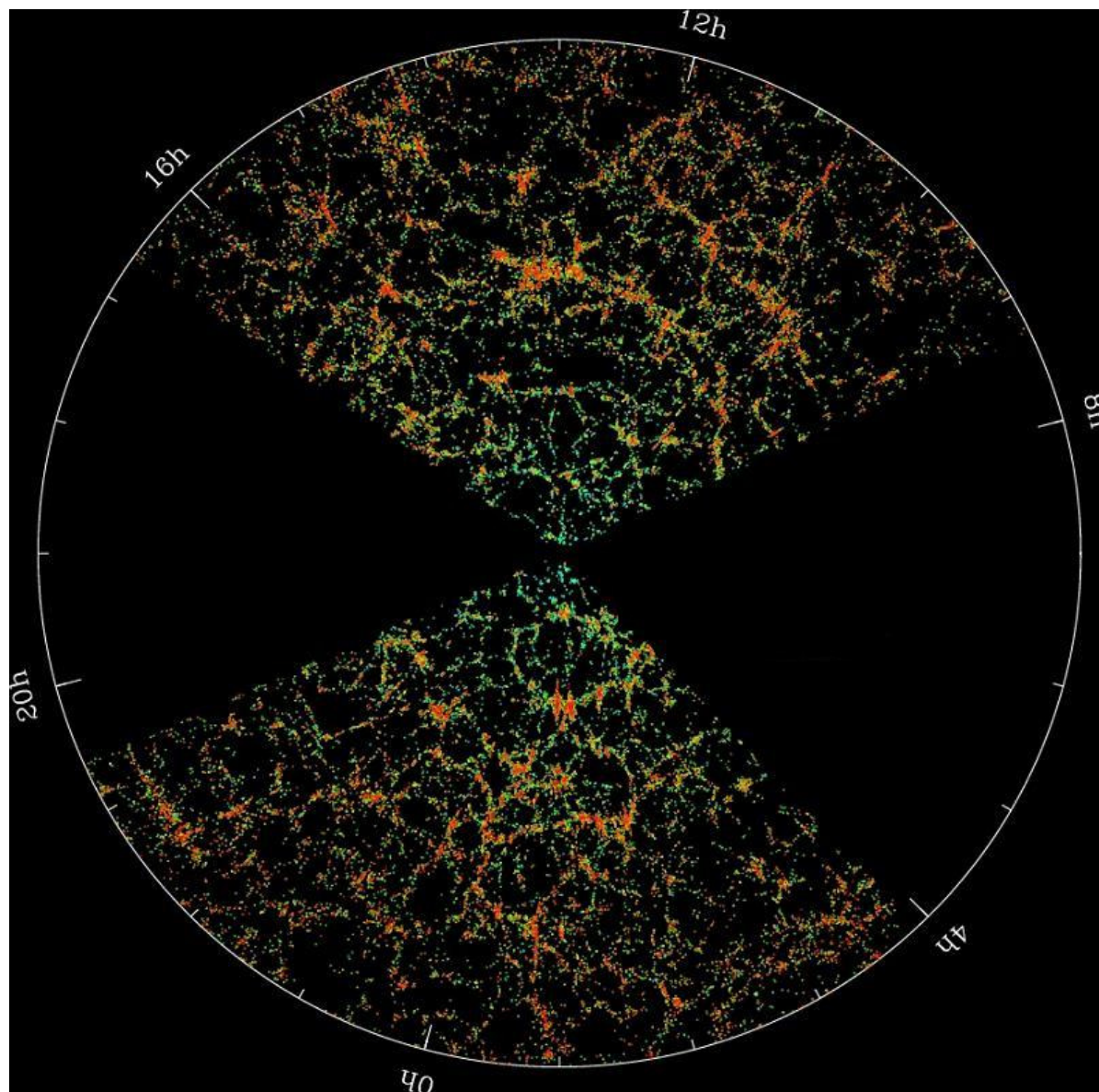


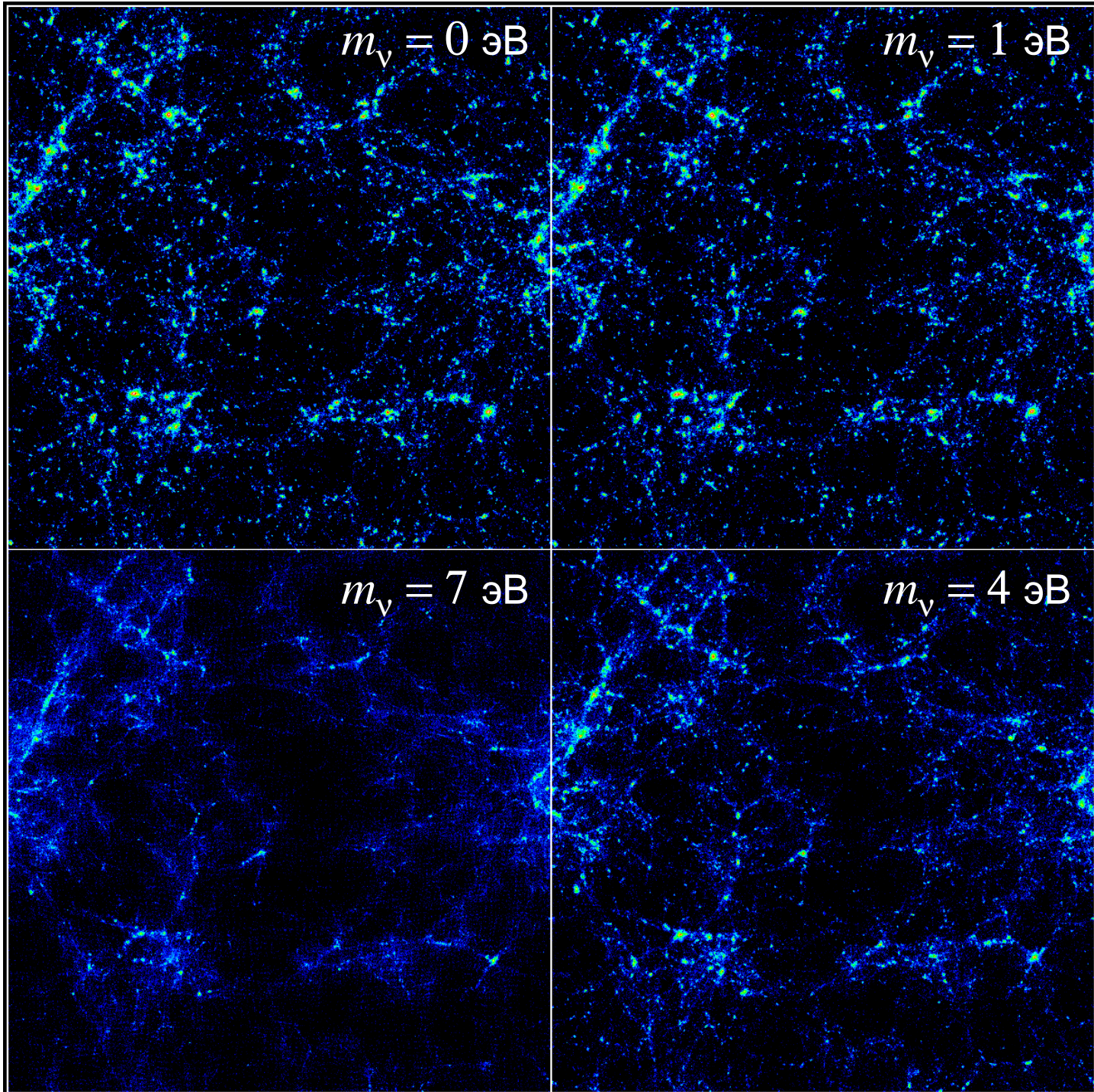
Рис 2. Спектр мощности реликтового излучения. Модели с массивными нейтрино, аналогичные приведенным на Рис 1. ($\Omega_m = 0.30$, $h = 0.80$, $f_\nu = 0.1$ и $\Omega_m = 0.6$, $h = 0.4$, $f_\nu = 0.1$, соответственно).

Крупномасштабная структура



Влияние массивных нейтрино (крупномасштабная структура)

- Более поздний переход к материально-доминированной стадии несколько уменьшает рост возмущений на малых масштабах
- Существенным образом замедляется рост возмущений на масштабах, меньших длины свободного пробега нейтрино



Ma '96

Влияние массивных нейтрино (крупномасштабная структура)

- Классический результат теории возмущений:

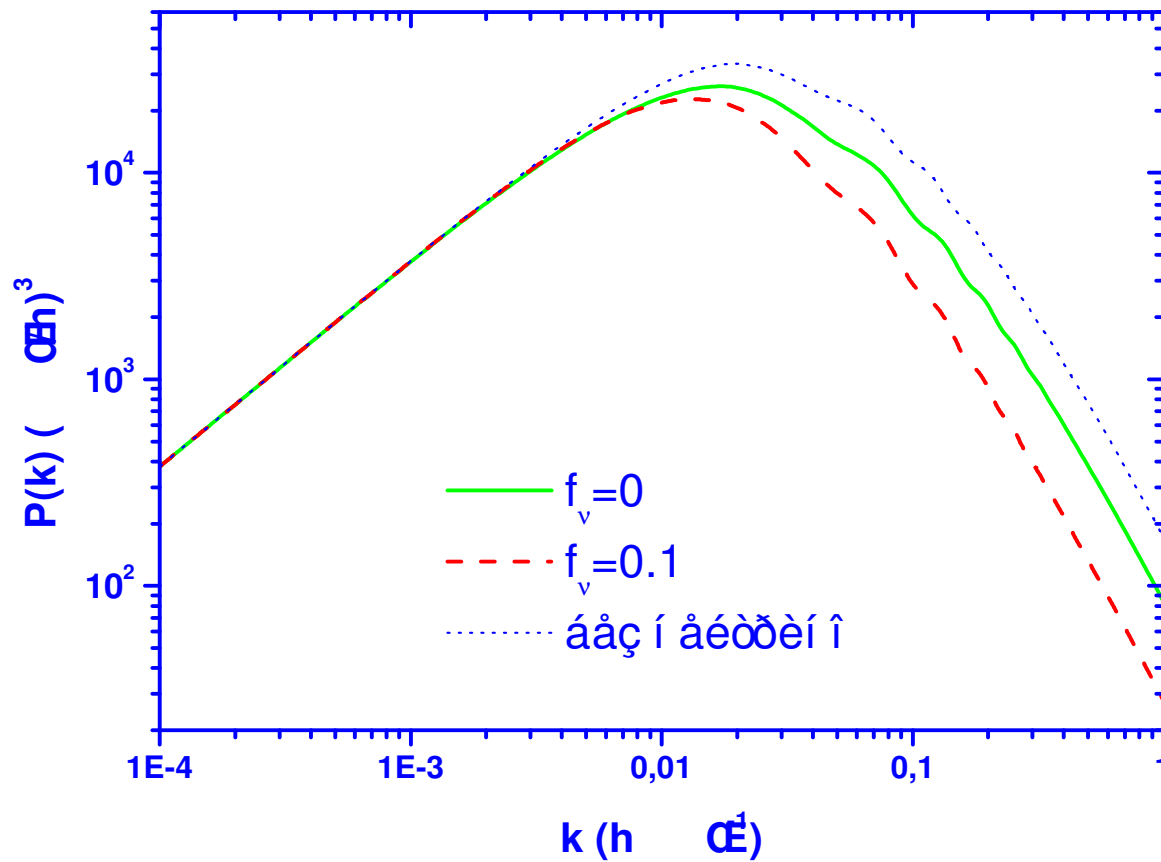
$$\delta \sim a^p$$

- В отсутствии нейтрино: $p = 1$

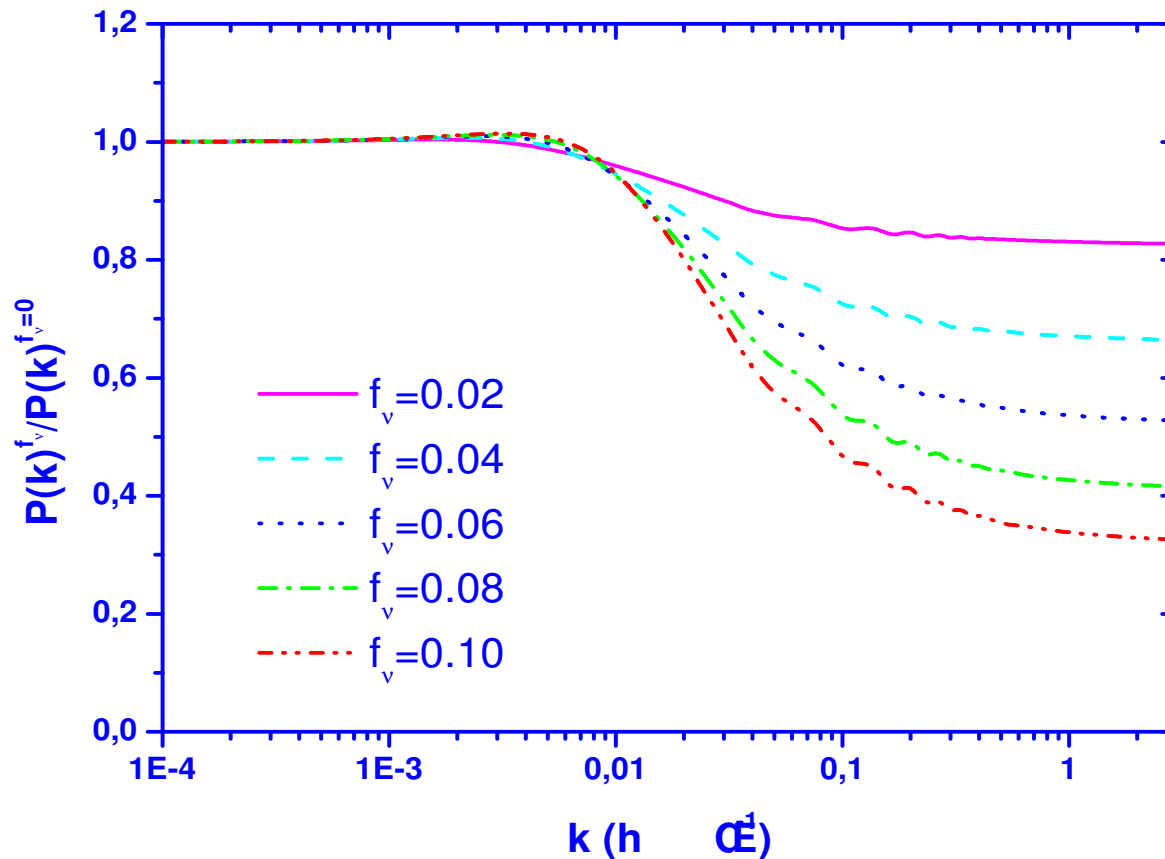
- При наличии нейтрино: $p = \frac{\sqrt{1 + 24(1 - f_\nu)} - 1}{4}$

- Влияние на спектр мощности: $\frac{\Delta P}{P} \Big|_{f_\nu=0} \approx -8 f_\nu$

Влияние массивных нейтрино (крупномасштабная структура)



Влияние массивных нейтрино (крупномасштабная структура)



Формализм Пресса-Шехтера

- Поле контраста плотности $\delta = \delta\rho/\rho$ в линейном приближении подчиняется гауссовой статистике
- Гравитационное сжатие обособившихся от хаббловского расширения уплотнений вещества может быть описано в сферически-симметричном приближении

Формализм Пресса-Шехтера

$$n(M, z) = \sqrt{\frac{2}{\pi}} \frac{\rho_m}{M} \frac{\delta_c}{\sigma_R^2(z)} \left| \frac{\partial \sigma_R(z)}{\partial M} \right| \exp\left(-\frac{\delta_c^2}{2\sigma_R^2(z)}\right)$$

$$R = \sqrt[3]{\frac{3M}{4\pi\rho_m}} \quad \delta_c = f(\Omega_m, \Omega_\Lambda)$$

$$\sigma_R^2(z) = \frac{1}{2\pi^2} \int_0^\infty P(k) W^2(kR) k^2 dk$$

Формализм Пресса-Шехтера

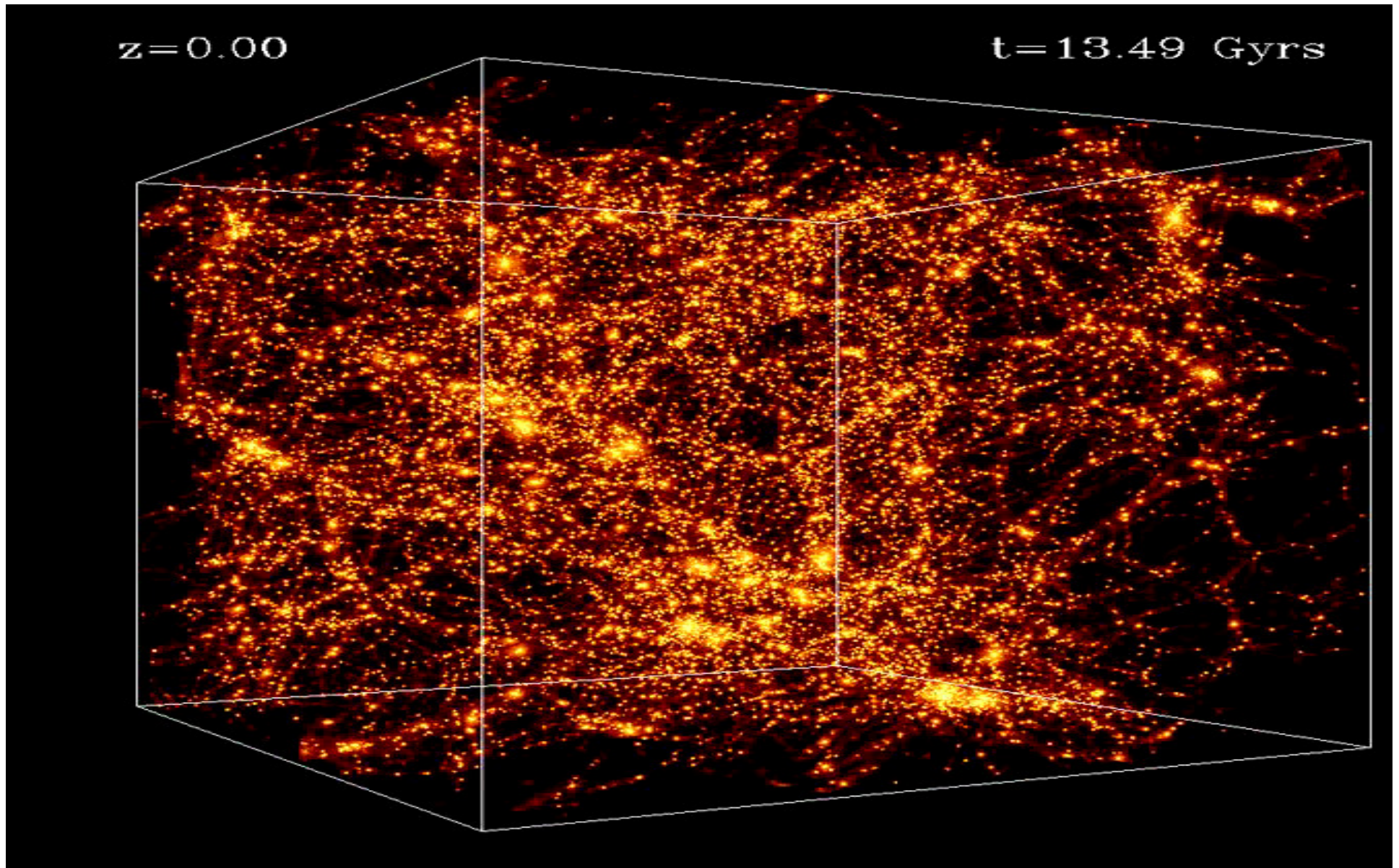
$$\sigma_R^2(z) = \frac{1}{2\pi^2} \int_0^\infty P(k) W^2(kR) k^2 dk$$

$$P(k) = Ak^n T^2(k, z) \quad W(x) = \frac{3}{x^3} (\sin x - x \cos x)$$

$$\delta(\vec{x}) = \frac{\delta\rho}{\rho}$$

$$\langle \delta(\vec{x}) \delta(0) \rangle = \xi(x) = \int P(k) e^{i\vec{k}\vec{x}} d\vec{k}$$

Моделирование структуры



Теоретические функции масс

$$n(M, z) = -\frac{\rho_m}{M} \frac{\partial \ln \sigma}{\partial M} f(\sigma)$$

$$f(\sigma; PS) = \sqrt{\frac{2}{\pi}} \frac{\delta_c}{\sigma} \exp\left(-\frac{\delta_c^2}{2\sigma^2}\right)$$

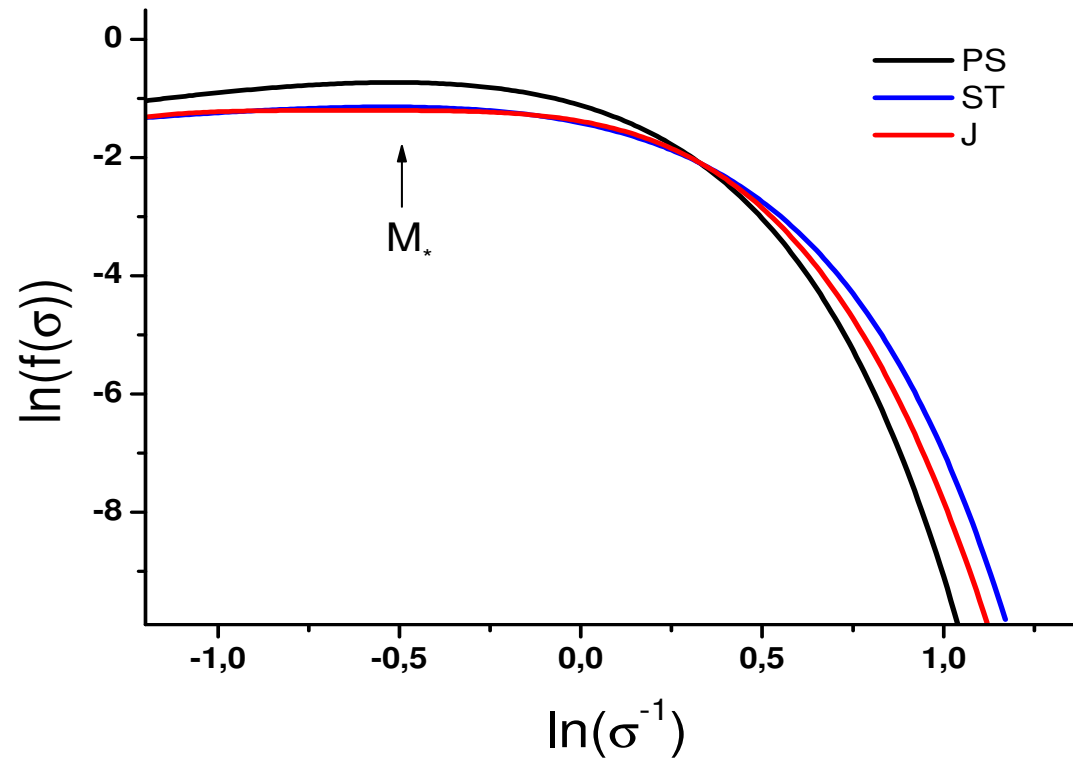
$$f(\sigma; J) = 0.301 \exp\left(-\left|\ln \sigma^{-1} + 0.64\right|^{3.82}\right)$$

$$f(\sigma; ST) = A \sqrt{\frac{2a}{\pi}} \left[1 + \left(\frac{\sigma^2}{a\delta_c^2}\right)^p\right] \frac{\delta_c}{\sigma} \exp\left(-\frac{a\delta_c^2}{2\sigma^2}\right)$$

$$A=0.3222, \quad a=0.707, \quad p=0.3$$

Теоретические функции

масс



$$\sigma(M_*) = \delta_c(\Omega_m, \Omega_\Lambda)$$

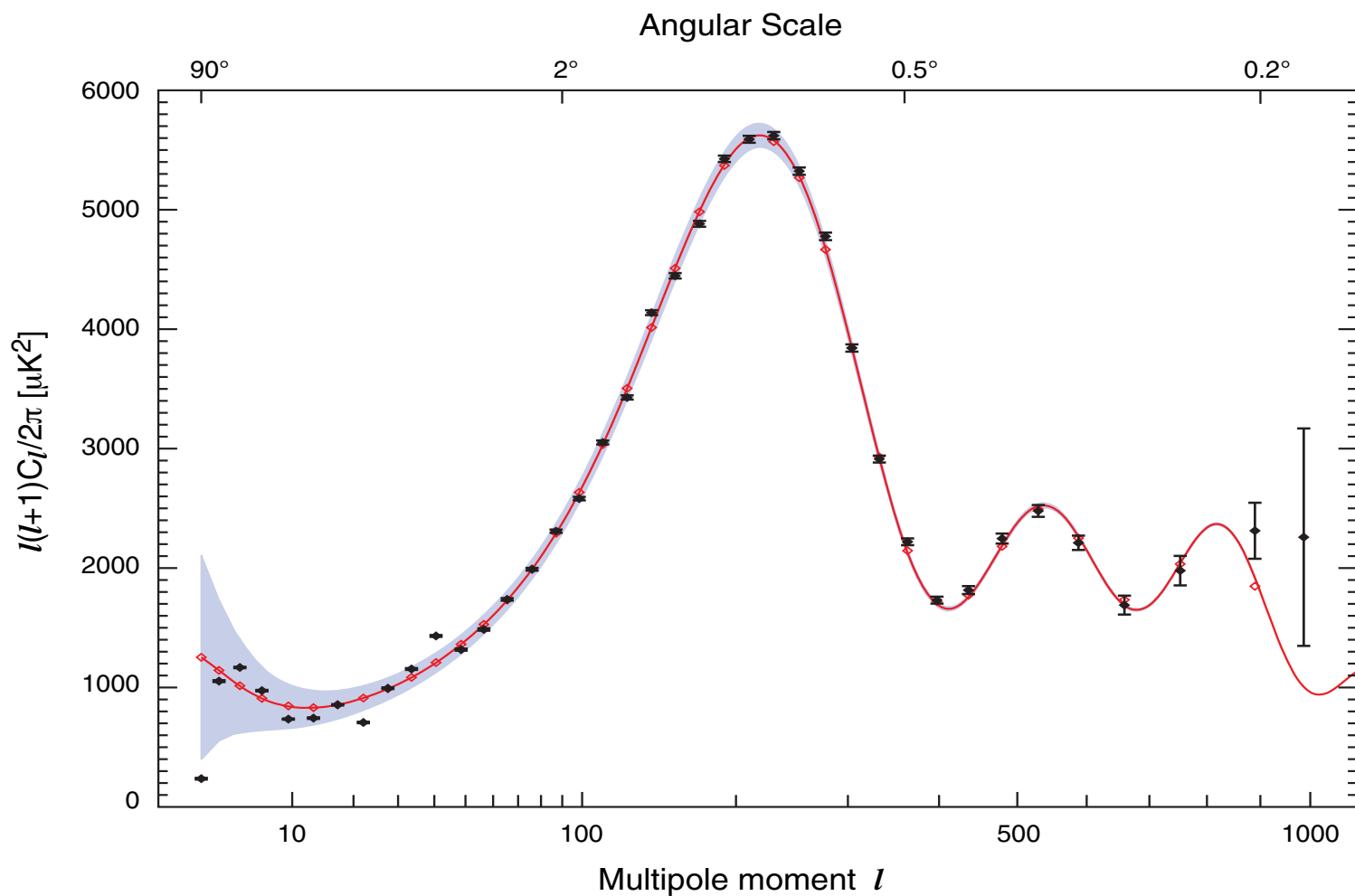
Масса скопления: способы ее определения

- Наблюдательная функция масс: масса, содержащаяся в сфере радиуса $1.5h^{-1}$ Мпк.
- Формализм Пресса-Шехтера: масса внутри вириального радиуса.
- Аппроксимации Шета-Тормена и Дженкинса: масса в сфере такого радиуса, что отношение средней плотности внутри нее к средней плотности Вселенной (контраст плотности) равно 180.

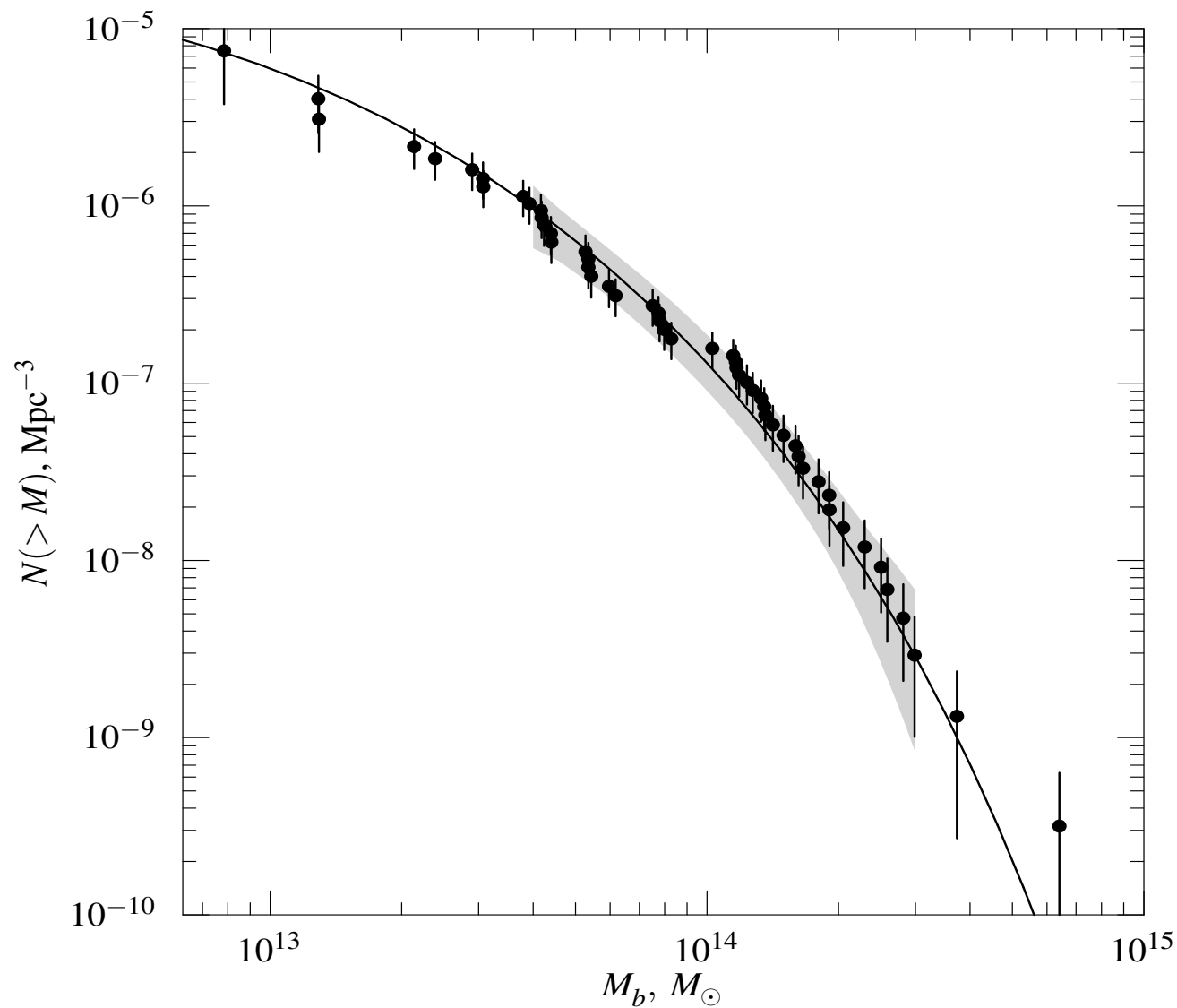
Наблюдательные данные

- Анизотропия реликтового излучения: данные миссии WMAP - температурный спектр для $2 < l < 1000$ (999 точек).
- Крупномасштабная структура: интегральная функция масс скоплений галактик, построенная по 42 рентгеновским скоплениям из каталога ROSAT (42 точки).

Наблюдательные данные: СМВ



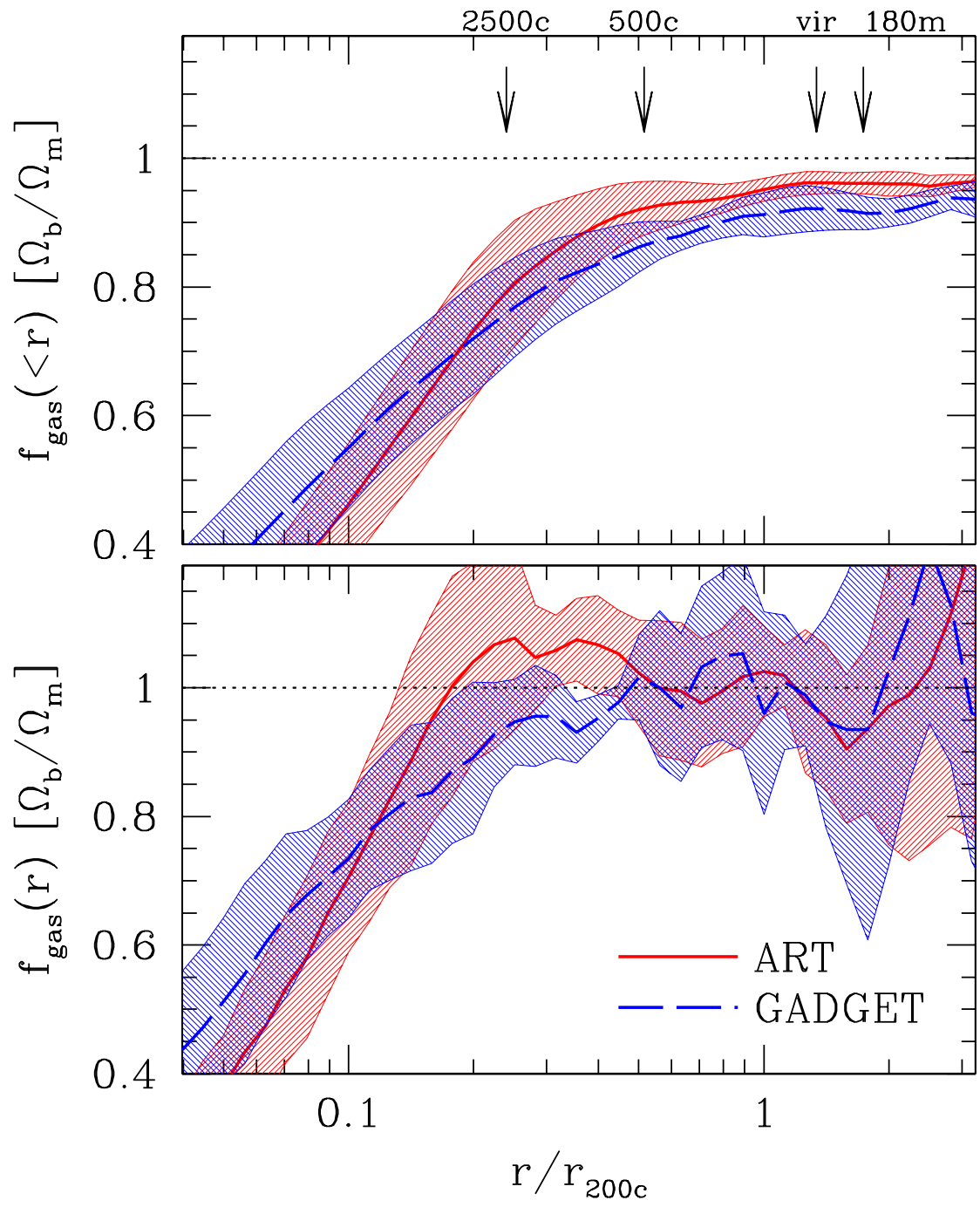
Наблюдательные данные: LSS



Метод определения полной массы скопления

- Основой метода определения полной массы скопления служило предположение об универсальности барионной фракции во Вселенной:

$$\frac{M_b}{M_{tot}} = f_b \equiv \frac{\Omega_b}{\Omega_m}$$



Kravtsov et al., 2005

Общие детали

- Для анализа использовалась плоская ($\Omega_{\text{tot}} = 1$) Λ CDM модель Вселенной с адиабатическими начальными условиями.
- Число массивных сортов нейтрино было принято равным 3, с одинаковыми массами.
- Для расчета теоретического спектра реликтового излучения, соответствующего данной конкретной модели, использовался код CAMB.
- Переходная функция для смешанной темной материи рассчитывалась как численным (с использованием CAMB), так и аналитическим (аппроксимация Hu & Eisenstein, 1999) способом.

Сетка моделей

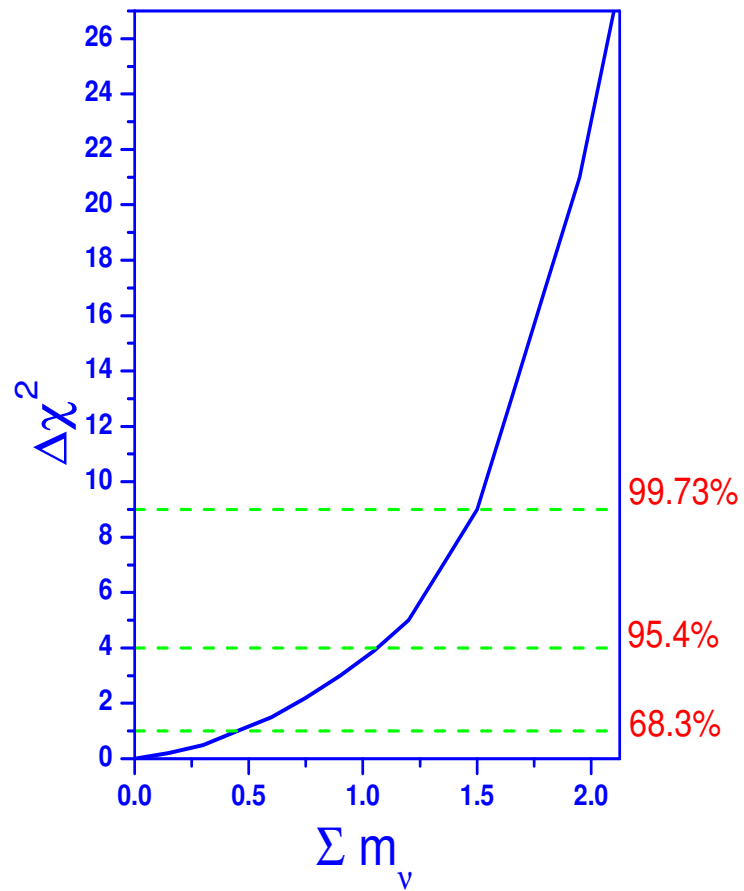
- Параметр плотность материи: $\Omega_m = 0.2 - 0.36$, с шагом 0.01.
- Безразмерная постоянная Хаббла (нормированная на 100 км/сек/Мпк):
 $h = 0.65 - 0.85$, с шагом 0.01.
- Наклон спектра первичных возмущений плотности: $n = 0.96 - 1.02$, с шагом 0.01.
- Масса одного сорта нейтрино:
 $m_\nu = 0 - 0.7$ эВ, с шагом 0.05 эВ.
- Вклад барионов: $\Omega_b h^2 = 0.023$ (Spergel et al. 2007).

Всего, таким образом, 37485 моделей

Детали расчета

- Итоговая величина $\chi^2 = \chi^2_{\text{cmb}} + \chi^2_{\text{cluster}}$
- Ее распределение обладает $999 + 42 - 4 = 1037$ степенями свободы
- Минимальное $\chi^2_{\text{min}} = 1092$ - хорошее согласие моделей и наблюдательных данных
- Исследовалось поведение величины $\Delta\chi^2_\nu = \chi_\nu^2 - \chi_{\text{min}}^2$
- Распределено как χ^2 с одной степенью свободы

Результаты



Вывод

- Новое космологическое ограничение для суммы масс трех сортов активных нейтрино:

$$\Sigma m_\nu < 1.05 \text{ эВ}$$

(уровень достоверности 95%)

- Таким образом, для максимальной массы нейтрино имеем:

$$0.05 < m_\nu < 0.35 \text{ эВ}$$

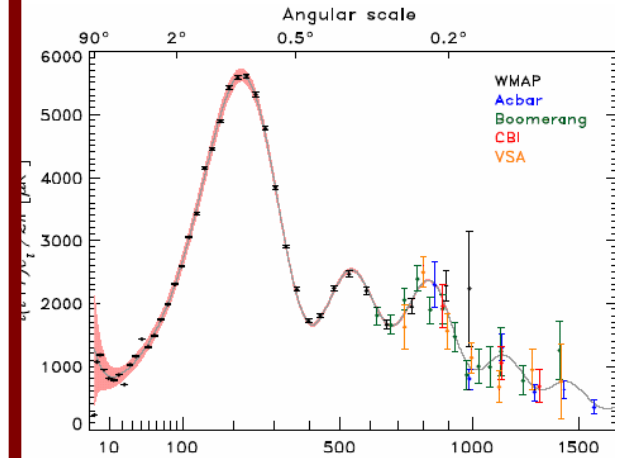
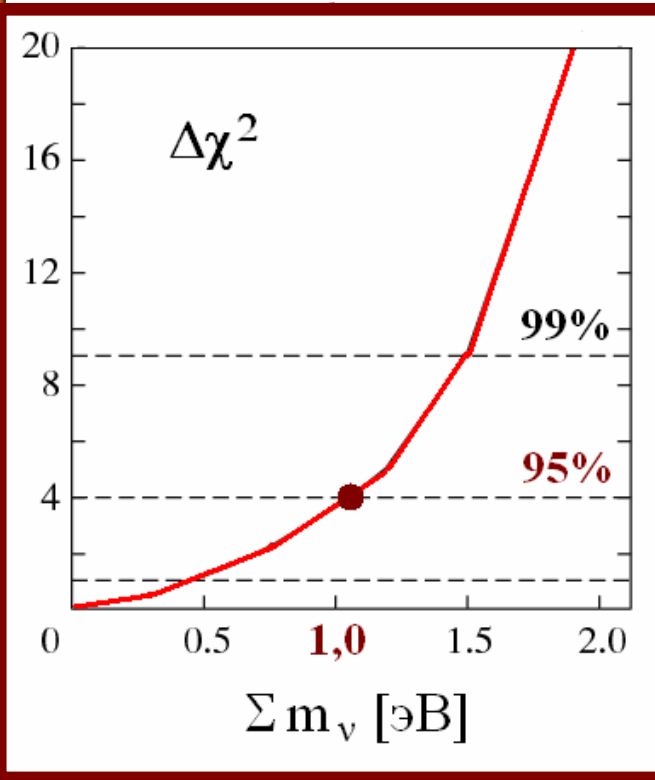
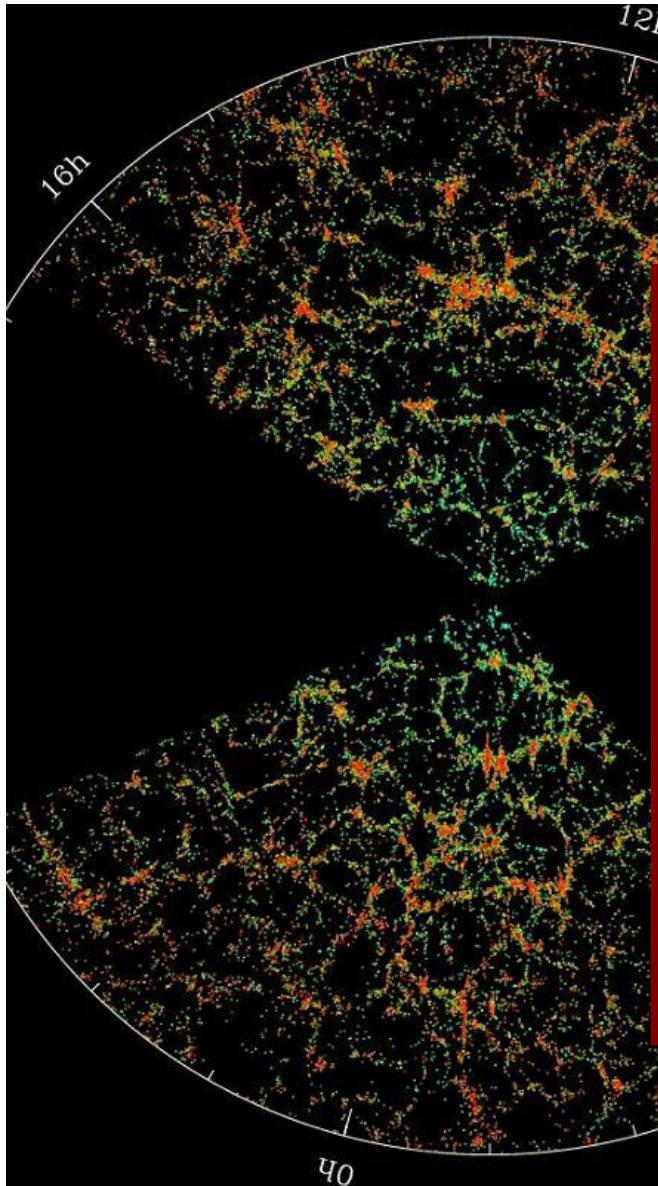
Результаты по ограничению массы

Данные	Авторы	Σm_ν
$N(z)$	Кахниашвили и др., 05	< 2.4 эВ
WMAP3	Kristiansen et al., 06	< 1.57 эВ
WMAP5	Dunkley et al, 08	< 1.3 эВ
WMAP3 + N	Малиновский и др., 08	< 1.05 эВ
WMAP3+SDSS	Tegmark et al., 06	< 0.9 эВ
WMAP5+SNIa + BAO	Komatsu et al., 08	< 0.61 эВ
WMAP5+N+N(z) + SNIa +BAO	Vikhlinin et al., 09	< 0.33 эВ
WMAP3+SNIa + SDSS+Lya+BAO	Seljak et al., 06	< 0.17 эВ

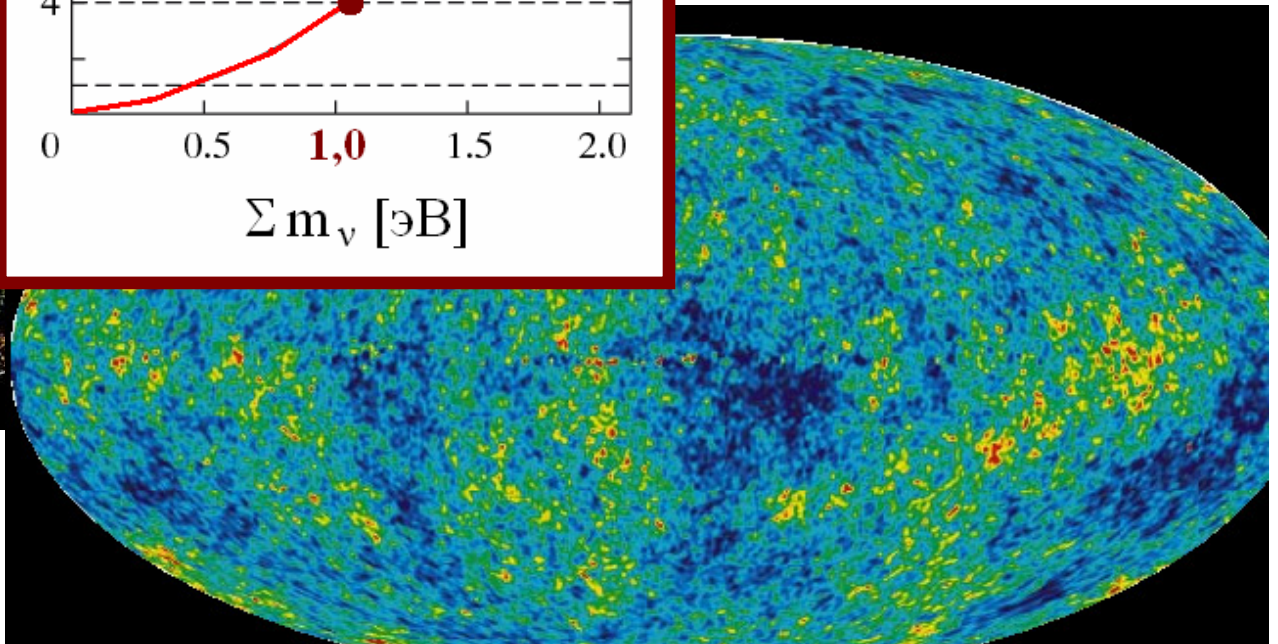
КОСМОЛОГИЧЕСКИЕ ОГРАНИЧЕНИЯ НА МАССУ НЕЙТРИНО ПО АНИЗОТРОПИИ РЕЛИКТОВОГО ИЗЛУЧЕНИЯ И КРУПНОМАСШТАБНОЙ СТРУКТУРЕ ВСЕЛЕННОЙ

© 2008 г. А. М. Малиновский^{1*}, А. А. Воеводкин^{2,3},
В. Н. Лукаш¹, Е. В. Михеева¹, А. А. Вихлинин^{2,4}

¹Астрокосмический центр физического института им. П.Н. Лебедева РАН, Москва

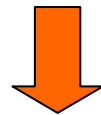


$$\Sigma m_\nu < 1,05 \text{ эВ}$$



Взаимосвязь между способами определения массы

$$M_{\Delta} \equiv \frac{4}{3} \pi r_{\Delta}^3 \rho_m \Delta = \int_0^{r_{\Delta}} 4\pi \rho(r) dr$$



$$\rho(r) = \frac{\rho_s}{(r/r_s)(1+r/r_s)^2}$$

NFW, 1997

$$M_{\Delta} = 4\pi \rho_s r_{\Delta}^3 y \left(\frac{r_s}{r_{\Delta}} \right) \longleftrightarrow y(x) = x^3 \left[\ln(1+x^{-1}) - \frac{1}{1+x} \right]$$

Взаимосвязь между способами определения массы

$$\frac{M_{\Delta}}{M_{vir}} = \frac{\Delta}{\Delta_{vir}} \left(\frac{r_{\Delta}}{r_{vir}} \right)^3 \equiv \left(\frac{r_{\Delta}}{r_{vir}} \right)^3 \frac{y(r_s / r_{\Delta})}{y(r_s / r_{vir})}$$



$$y\left(\frac{r_s}{r_{\Delta}}\right) = \frac{\Delta}{\Delta_{vir}} y\left(\frac{r_s}{r_{vir}}\right)$$

$$c \equiv \frac{r_{vir}}{r_s} \longleftrightarrow c(M_{vir}) = \frac{9}{1+z} \left(\frac{M_{vir}}{M_*} \right)^{-0.13}$$

Bullock et al., 2001

Взаимосвязь между способами определения массы

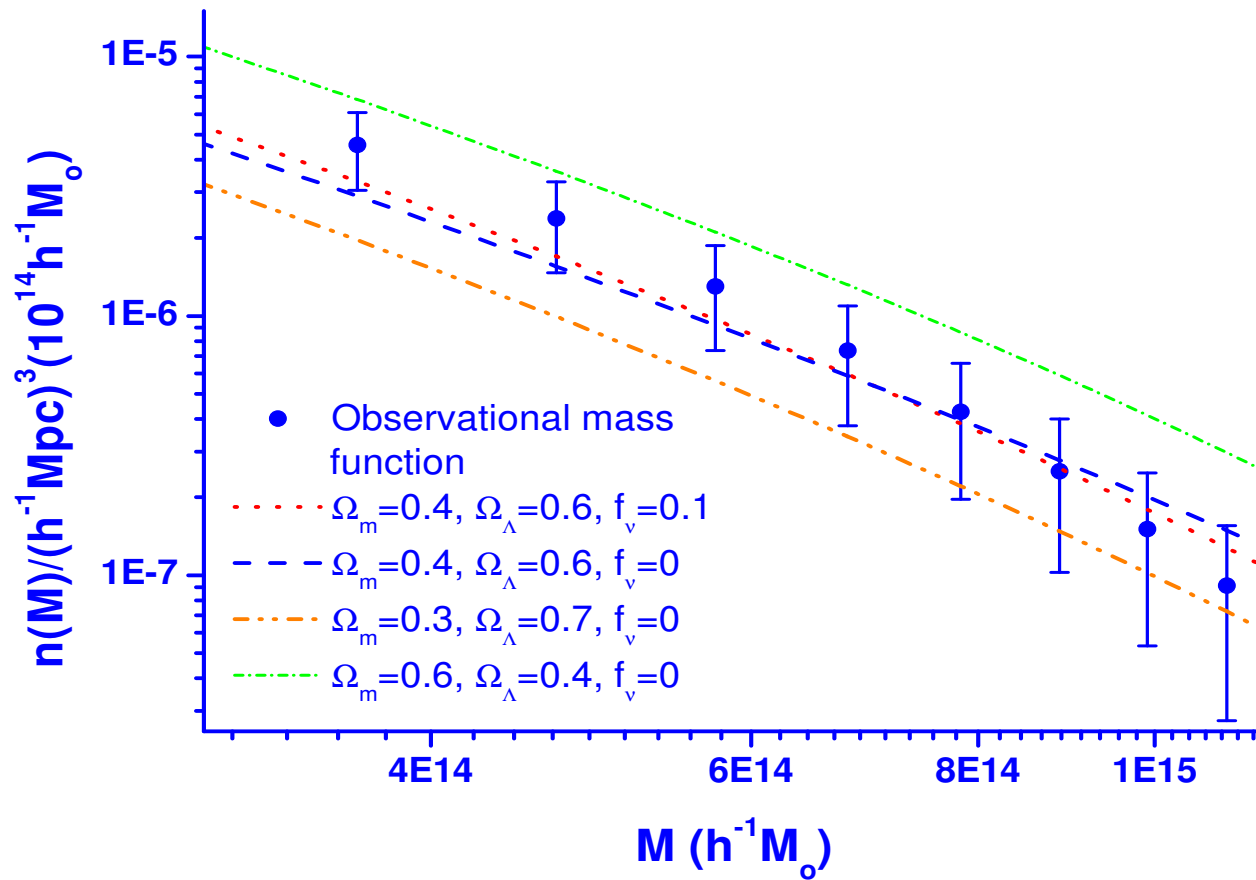
$$\frac{r_s}{r_\Delta} = f\left(\frac{\Delta}{\Delta_{vir}} y\left(\frac{1}{c}\right)\right)$$



$$\frac{M_\Delta}{M_{vir}} = \frac{\Delta}{\Delta_{vir}} \left(\frac{r_\Delta}{r_s}\right)^3 \left(\frac{r_s}{r_{vir}}\right)^3 \equiv \frac{\Delta}{\Delta_{vir}} \left(\frac{r_\Delta}{r_s}\right)^3 c^{-3}$$

$$\Delta_{obs} = \frac{3M_{obs}}{4\pi r_0^3 \rho_m} \longleftrightarrow r_0 = 1.5h^{-1}\text{Мпк}$$

Этапы работы: 1 этап

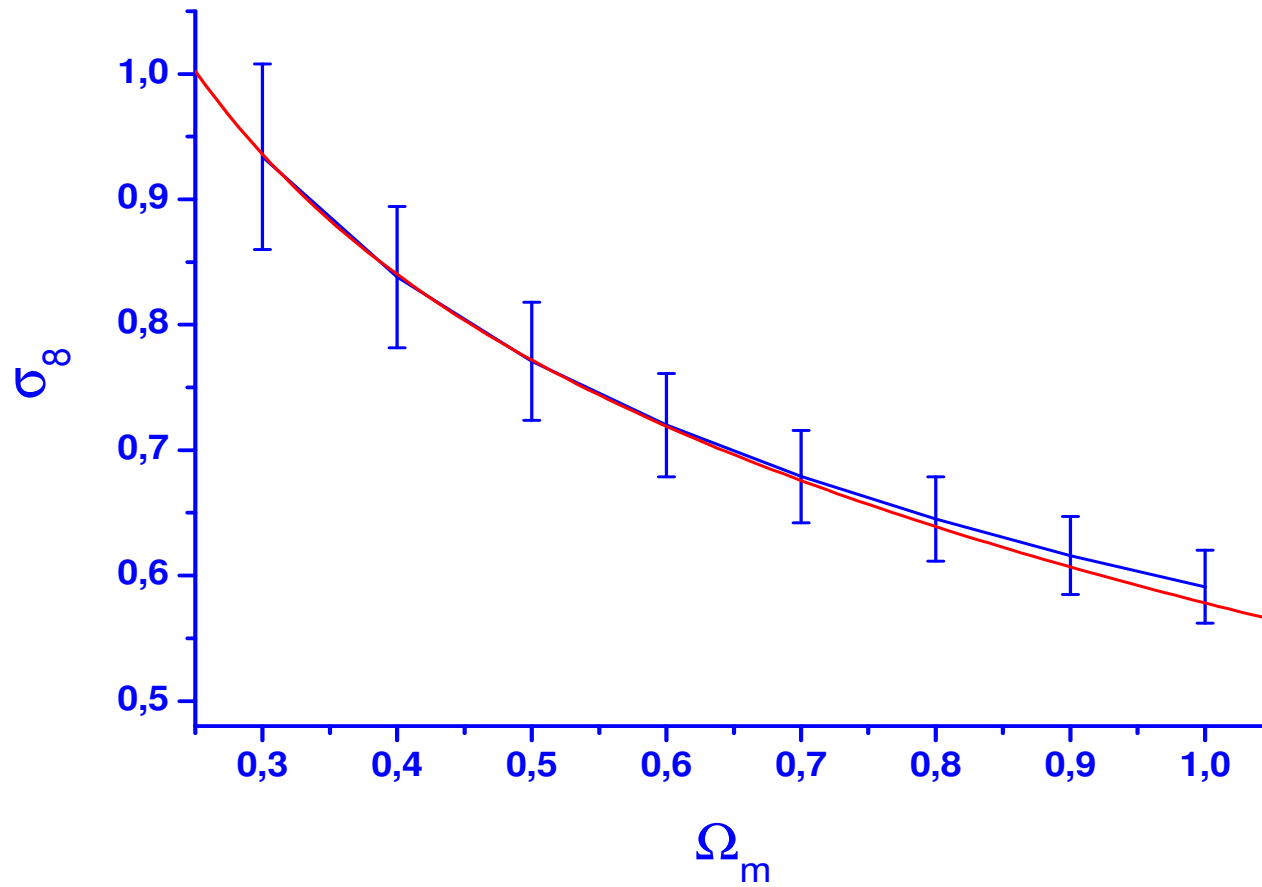


Этапы работы: второй этап

$$\sigma_8 = \Omega_m^{A_1 + A_2 \Omega_m + A_3 \Omega_\Lambda} [A_4 + A_5 (\Omega_m - A_6)] \times \{1 - A_7 h - A_8 n - A_9 f_\nu\}$$

- Метод Левенберга-Марквардта минимизации χ^2
- Многомерное пространство моделей

Этапы работы: второй этап



Результат

